



4<sup>TO</sup> CONGRESO PANAMERICANO DE INGENIERIA  
NAVAL, INGENIERIA PORTUARIA Y TRANSPORTES  
MARITIMOS

TRABAJO TECNICO

TITULO                    PROPAGAÇÃO DE RUÍDOS E VIBRAÇÕES EM NAVIOS  
                                  APLICAÇÃO DE TÉCNICAS DIGITAIS

AUTOR                    JOÃO BOSCO E. SERRÃO  
                                  JULES G. SLAMA

PAIS                    BRASIL

1975

ABSTRACT

The ship is considered as a complex system where the noises and vibrations can propagate.

At present it is very important to reduce such noises and vibrations.

One other related problem is the iteration between the engine instalation and the ship's structure with reference to the problem that started with the diesel engine of very hight horsepower.

All the above problems can be studed based in one model made from the noises and vibrations sources and its iterations with acoustics and vibrations structures.

We, therefore, will study the contribuition of each source in the total enviroment noise. When we are solving such problem we need to know the way of the sound propagation.

In 1955, Goff shows one method to study such problems using the correlation functions and the spectrum in order to study the source iterations.

From this time on several function were developed to help us in solving the above mentioned problems.

With the "Fast Fourier Transform" (FFT), the time needed for calculation is too reduced.

In our work we just put together all possible avaible information relative to the digital prossessing signal and after exemplification of the used techinique developed for us, we apply them to one pratical exemple.

The required time for the field measurement was so reduced, as we just need one small tape recorder and some transducer.

## 1. INTRODUÇÃO

Um navio é considerado como um sistema complexo onde os ruídos e as vibrações propagam-se.

A cada dia que passa torna-se mais importante a necessidade de redução desses ruídos e vibrações.

Um outro problema importante surgiu com a aparição de motores potentes. Há necessidade de medir a iteração destas máquinas com a estrutura do navio.

Todos estes problemas podem ser estudados a partir de um modelo composto de fontes de ruído e vibrações e as interações destas fontes com estruturas acústicas e vibratórias.

Portanto, estudaremos a contribuição de cada fonte no ruído ambiente. Os caminhos percorridos devem ser conhecidos para quando nos propusemos a resolver estes problemas.

Goff em 1955 já expunha uma filosofia para abordagem destes problemas: o uso das funções de correlação e de espectro para estudar as interações das fontes.

Desde então foram desenvolvidas outras funções nos auxiliaram a resolver os problemas citados.

Com a redescoberta do algoritmo da Fast Fourier Transform (FFT) o tempo exigido para o cálculo ficou bastante reduzido.

Nós procuramos neste trabalho juntar o máximo de informações relativas ao processamento digital do sinal e após exemplificarmos as técnicas, por nós desenvolvidas, aplicando-as num exemplo prático. O tempo requerido pela parte experimental também foi bastante reduzido por necessitar apenas de um gravador portátil e alguns transdutores.

## 2. APRESENTAÇÃO DOS ALGORÍTMOS

Consideramos durante o desenvolvimento do trabalho em sua totalidade que os sinais são estacionários e esgóticos.

### 2.1 ANÁLISE CORRELACIONAL

#### 2.1.1 AUTOCORRELAÇÃO

Seja  $X(t)$  uma função temporal. A função de autocorrelação  $C_{xx}(T)$  é definida por:

$$C_{xx}(T) = E \{ X(t) X(t-T) \}$$

esta pode ser estimada por:

$$C_{xx}(T) = \frac{1}{D} \int_0^D X(t) X(t-T) dt$$

onde  $D$  é o tempo de integração e  $T$  é um retardo aplicado à função.

A função de autocorrelação tem 2 propriedades principais:

A- é uma função par

$$C_{xx}(T) = C_{xx}(-T)$$

B- ela é máxima par  $T = 0$ . Se  $T \neq 0$  então:

$$| C_{xx}(T) | < C_{xx}(0)$$

#### 2.1.2 CROSSCORRELAÇÃO

Sejam  $X(t)$  e  $Y(t)$  duas funções aleatórias temporais. Definimos como função de crosscorrelação de  $X(t)$  em  $Y(t)$ :

$$C_{xy}(T) = E \{ X(t) Y(t-T) \}$$

esta função é estimada por:

$$C_{xy}(T) = \frac{1}{D} \int_0^D X(t) Y(t-T) dt$$

onde D é o tempo de integração e T um retardo aplicado à função Y(t).

As propriedades desta função são:

A-  $C_{xy}(T) = C_{yx}(-T)$

B-  $C_{xy}(\infty) = C_{yx}(\infty) = 0$

C-  $|C_{xy}(T)| \leq 1/2 |C_{xx}(0) + C_{yy}(0)|$

D- Se X(t) e Y(t) são independentes entre si então:

$$C_{xy}(T) = 0$$

## 2.2 ANÁLISE ESPECTRAL

### 2.2.1 AUTOESPECTRO

A função de autoespectro  $S_{xx}(f)$  é definida por:

$$S_{xx}(f) = F |C_{xx}(T)|$$

Esta função representa a análise em frequência da potência transmitida pela fonte X(t).

### 2.2.2 CROSSESPECTRO

Por analogia, a função de crossspectro  $S_{xy}(f)$  é definida

por:

$$S_{xy}(f) = F \left[ C_{xy}(T) \right]$$

A função de crossespectro é um número complexa da forma:

$$S_{xy}(f) = R_{xy}(f) + i J_{xy}(f)$$

onde

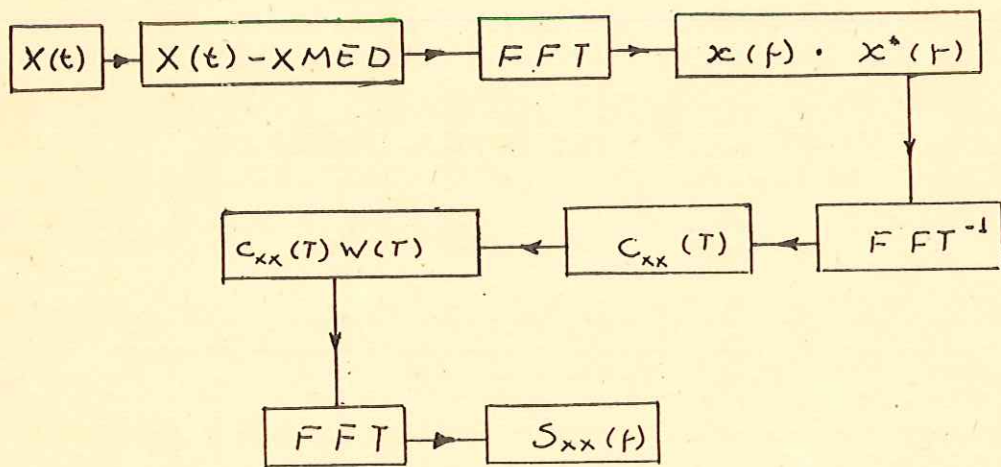
$$R_{xy}(f) = \int_{-\infty}^{\infty} C_{xy}(T) \cos 2\pi f T dT$$

$$J_{xy}(f) = \int_{-\infty}^{\infty} C_{xy}(T) \sin 2\pi f T dT$$

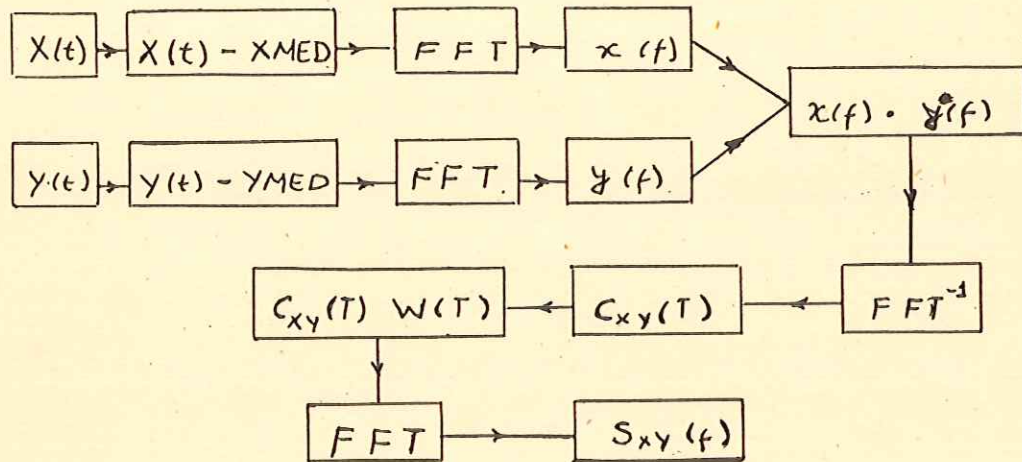
A função pode ter o significado de potência de interação dentro os dois sinais.

## 2.3 DESENVOLVIMENTO DOS ALGORÍTMOS USANDO A FFT

### 2.3.1 AUTOCORRELAÇÃO E AUTOESPECTRO



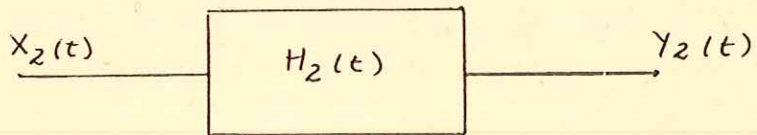
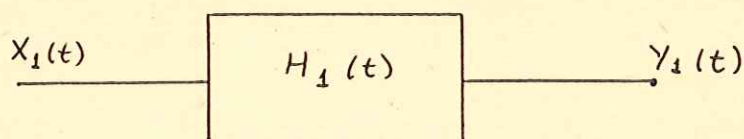
### 2.3.2 CROSSCORRELAÇÃO E CROSSESPECTRO



Estamos agora trabalhando no cálculo de crossespectro usando diretamente a FFT como mostrou Welch.

### 3. DESENVOLVIMENTO TEÓRICO

Seja um modelo definido pela figura abaixo



Pela relação:

$$S_{y_1 y_2} = h_1(f) h_2^*(f) S_{x_1 x_2}$$

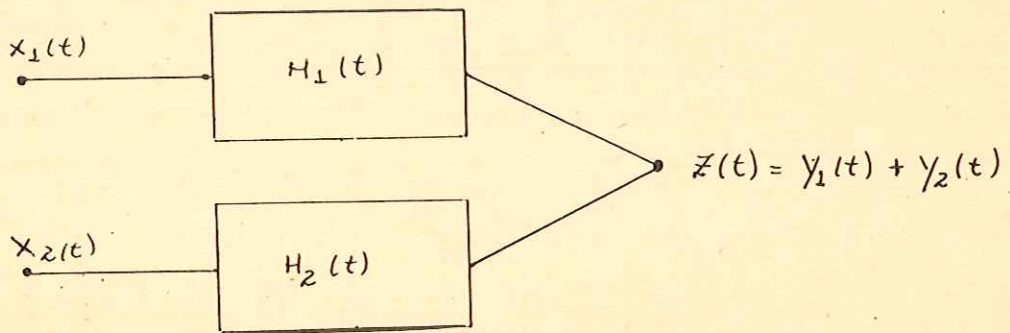
onde

$$h(f) = F \quad | \quad H(T) \quad | \quad \text{e } (*) \text{ significa o complexo con-}$$

jugado da função.

= Estudaremos o caso de duas fontes não correladas entre si, por exemplo 2 motores de características diferentes.

Neste caso o esquema será:



por conseguinte

$$S_{zx_1}(f) = h_1(f) \delta_{x_1 x_1}(f)$$

Para frequência  $f$ , a potência transmitida pela fonte 1 e pelo caminho 1 será

$$S_{y_1 y_1}(f) = |h_1(f)|^2 S_{x_1 x_1}$$

Podemos então ver que a potência transmitida  $P_i(f)$  pelas i fontes será:

$$P_i(f) = \frac{|S_{zx_i}|^2}{S_{x_i x_i}}$$

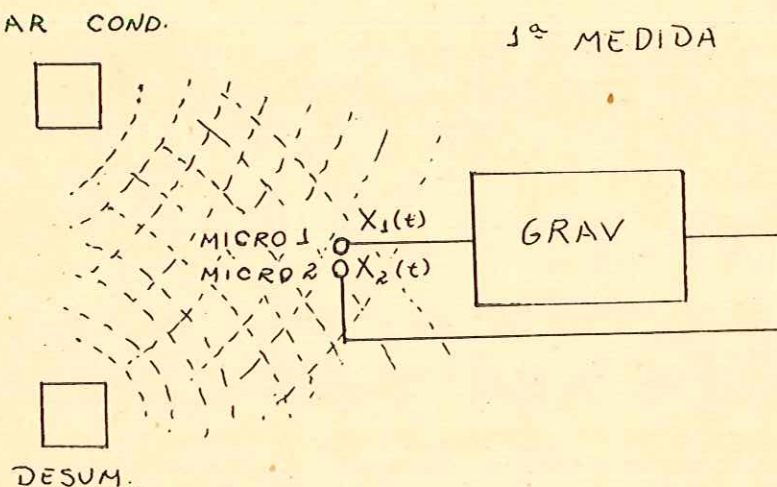
assim pode ser determinada a contribuição de cada fonte ao ruído ambiente.

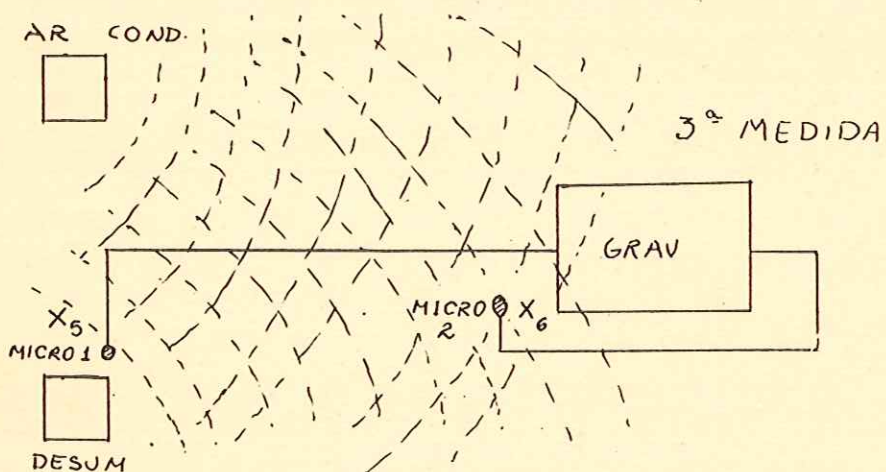
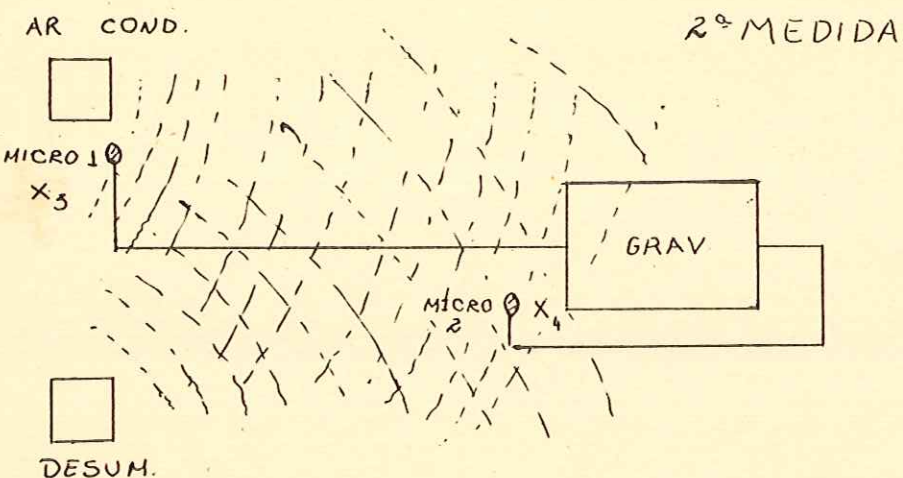
#### 4. EXPERIÊNCIA REALIZADA

Foi realizada uma experiência medindo a contribuição de 2 fontes no nível de ruído em um determinado ponto de uma sala de laboratório.

As duas fontes eram: um condicionador de ar e um desumidificador.

Foram realizadas 3 medições e estas gravadas num gravador de 2 canais, segundo o esquema da figura abaixo.





A primeira medição foi devida à diferença de ganhos dos microfones a .

Esta diferença foi calculada tomando-se a RMS de  $x_1$  e dividindo-se pela RMS de  $x_2$ .

As outras medições subsequentes foram para medir a contribuição de cada fonte. Foi introduzida uma atenuação de 10 dB.

Com todos os sinais gravados, jogamos os sinais num conversor analógico-digital para obtermos os dados em cartões a fim de utilizá-los num computador digital.

Ao digitalizarmos os sinais, o conversor estava calibrado nu  
ma frequência máxima de 20 KHz e utilizamos um filtro passa-baixa de  
5 KHz em cada sinal.

Após utilizarmos o computador obtivemos os seguintes resulta  
dos : (encontrados nas páginas subsequentes).

4. ESTABELECIMENTO DA CUSTÓDIA - ANALISE DE CONSUMO/FICA.

ANALISE DE CONSUMO/FICA.

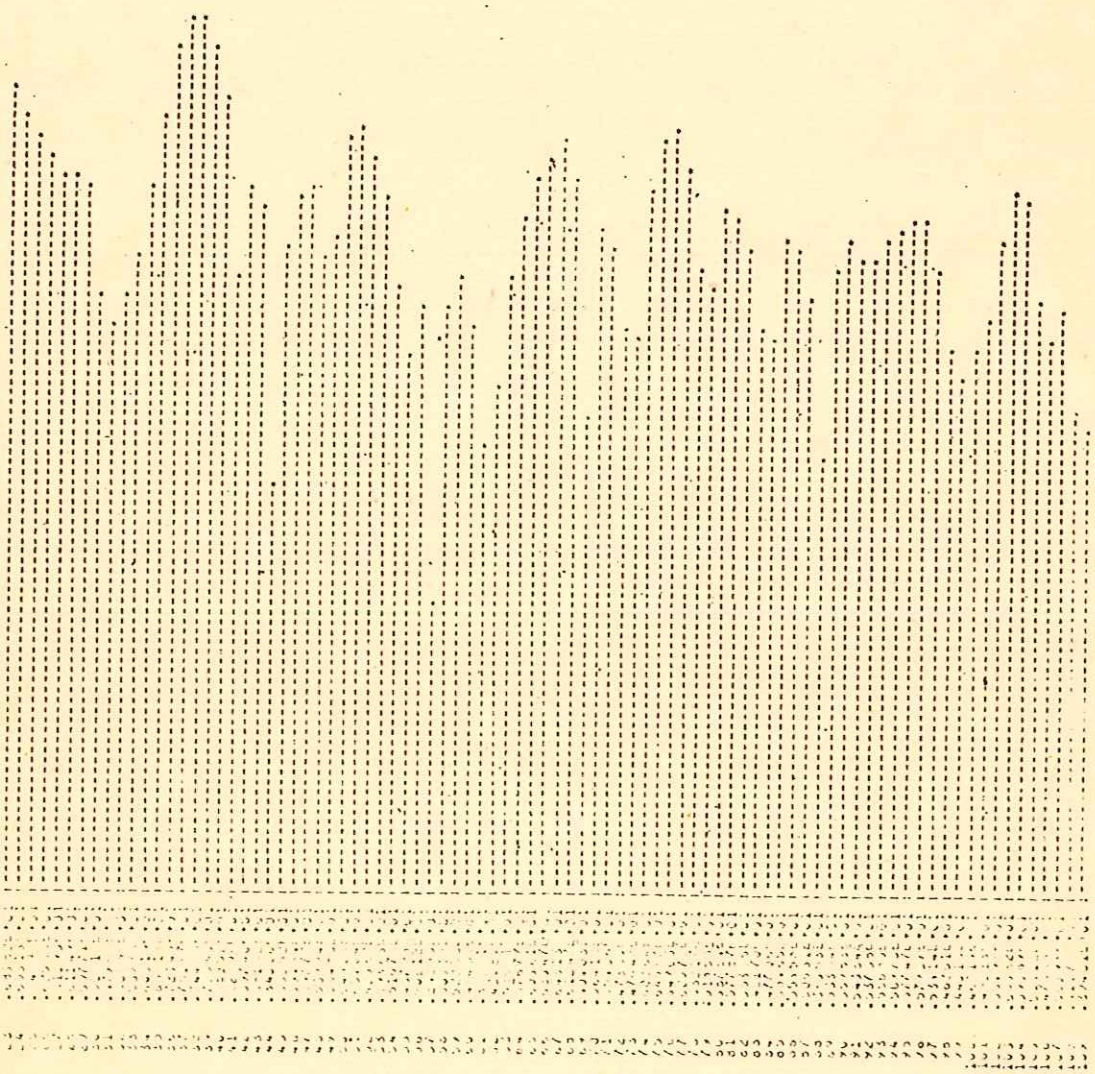
12/5/75

ESTABELECIMENTO DA CUSTÓDIA - ANALISE DE CONSUMO/FICA.

12/5/75

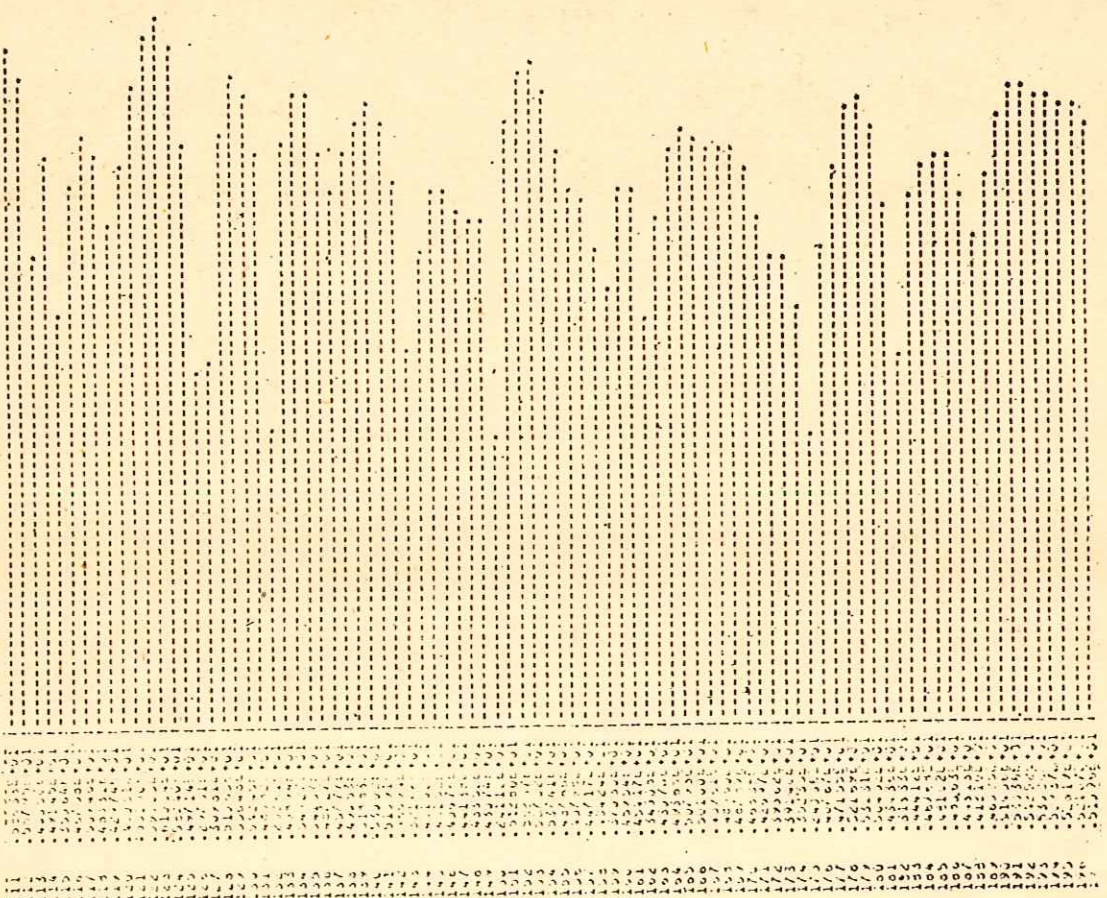
UNIVERSIDADE FEDERAL DO RIO DE JANEIRO  
MUSEU  
MUSEU DE GEOLOGIA, GEOFÍSICA E ORNITÓLOGIA

(1)



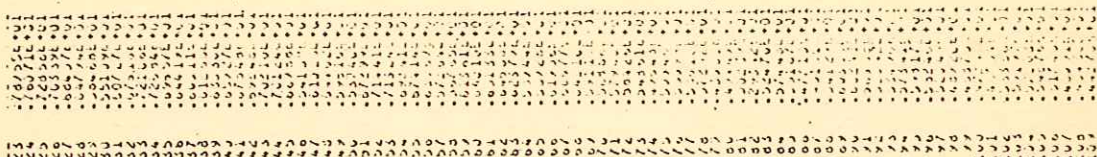
UNIVERSIDADE FEDERAL DO RIO DE JANEIRO  
MUSEU NACIONAL DE GEOLOGIA E ELECTRÔNICA

UNIVERSIDADE FEDERAL DO RIO DE JANEIRO  
MUSEU NACIONAL DE GEOLOGIA E ELECTRÔNICA

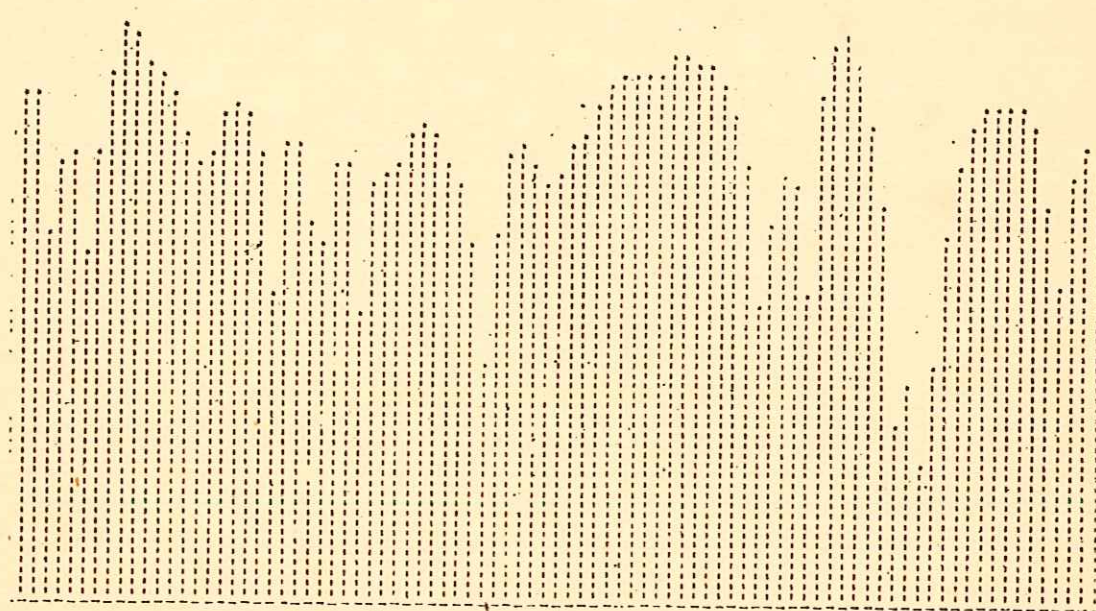


UNIVERSIDADE FEDERAL DO RIO DE JANEIRO  
NUCLEO DE COMPUTACAO ELETRONICA

4 COLEGIO DE ENGENHARIA  
-----  
AV. ALFREDO OUARse, 45400  
12700 RJ-75



UNIVERSIDADE FEDERAL DO RIO DE JANEIRO  
NUCLEO DE COMPUTACAO ELETRONICA



UNIVERSIDADE FEDERAL DO RIO DE JANEIRO  
NUCLEO DE COMPUTACAO ELECTRONICA

5. CONCLUSÃO

Esta técnica nos traz a vantagem de ser bastante rápida do ponto de vista experimental. Deixando a parte de análise para ser feita fora do navio, em laboratório, acarretando com isso uma precisão maior nos resultados.

BIBLIOGRAFIA

- 1 GOFF, K. W., "The application of correlation techniques to some acoustic measurements". JASA, 27 (2), 1955
- 2 MAX, J., "Traitement du signal", Tomo I, Masson e C<sup>ie</sup> Editeurs, 1972.
- 3 MARCER, C. A., "Note on digital estimation of correlation function" Journal of sound and vibration, 27 (2), 1973

PAG. 3 JBES 126

\* COPPE-FORTRAN \*

19/09/75

APENDICE

LISTAGEM DAS SUBROTINAS E PROGRAMAS

```
SUBROUTINE GRAPH(LX,X)
DIMENSION X(01),IGRAF(101)
DATA IPCNT / 0 /
DATA IBARRA / 1H & /
DATA IXIX / * /
DATA IBR / * /
IN=8
ICUT=5
XMIN=X(1)
XMAX=X(1)
WRITE(ICUT,79)
79 FORMAT(18X,-----*)
```

-----\*

```
DO 1 K=2,LX
IF(X(K)-XMIN)80,2,2
80 XMIN=X(K)
2 IF(X(K)-XMAX)1,81,81
81 XMAX=X(K)
1 CONTINUE
IF(XMIN-XMAX)82,83,83
82 RANG=XMAX-XMIN
IF(XMIN.GE.0.)IND1=1
IF(XMIN.LT.0.)IND1=IFIX(ABS(XMIN*100./RANG+0.5))
DO 5 K=1,LX
IND=IFIX((X(K)-XMIN)*100./RANG+0.5)
IF(IND) 84,20,84
```

PAG. 4 JBES 126

\* COPPE-FORTRAN \*

19/09/75

```
84 IF(IND-101) 22,21,21
22 IF(IND-IND1)4,3,3
3 DO 12 L=1,101
12 IGRAF(L)=IBR
DO 9 L=IND1,IND
9 IGRAF(L)=IPONT
IGRAF(IND)=IXIX
GC TO 30
20 INC=1
4 DO 6 L=1,101
6 IGRAF(L)=IBR
DC 7 L=IND,IND1
7 IGRAF(L)=IPONT
IGRAF(IND)=IXIX
GC TO 30
21 DO 14 L=1,101
14 IGRAF(L)=IPONT
IGRAF(101)=IXIX
30 IGRAF(IND1)=IBARRA
KK=K-1
WRITE(ICUT,40)KK,X(K),(IGRAF(L),L=1,101)
40 FCRMAT(1X,14,1H,E12.5,1H,101A1)
45 CONTINUE
83 RETURN
END
```



PAG. 3 JBES 126 \* COPPE-FORTRAN \* 19/09/75

```
SUBROUTINE GRAFT(LX,X)
DIMENSION X(01),IGRAF(1C1),Y(8192),Q(8192)
CATA IPCNT /'-'/
CATA IBARRA /'+'/
CATA IXIX /'*'/
CATA IER /'.'/
IN=8
ICUT=5
N=LX
N2=N/2
CC 50 I=1,N2
Y(I)=X(I+N2)
50 CONTINUE
N2M1=N2+1
CC 51 I=N2M1,N
Y(I)=X(I-N2)
51 CONTINUE
CC 52 I=1,N
X(I)=Y(I)
52 CONTINUE
CC 53 I=1,N
Q(I)=I-N2-1
53 CONTINUE
XMIN=X(1)
XMAX=X(1)
WRITE(ICUT,79)
```

PAG. 4 JBES 126 \* COPPE-FORTRAN \* 19/09/75

```
79 FCRMAT(20X,*-----*)
*-----*-----*
CC 1 K=2,LX
IF(X(K)-XMIN)80,2,2
80 XMIN=X(K)
2 IF(X(K)-XMAX)1,81,81
81 XMAX=X(K)
1 CONTINUE
IF(XMIN-XMAX)82,83,83
82 RANG=XMAX-XMIN
IF(XMIN.GE.C.)INC1=1
IF(XMIN.LT.0.)INC1=IFIX(ABS(XMIN*100./RANG+0.5))
CC 5 K=1,LX
INC=IFIX((X(K)-XMIN)*100./RANG+0.5)
IF(INC)84,20,84
84 IF(INC-101)22,21,21
22 IF(INC-INC1)4,3,3
3 CC 12 L=1,101
12 IGRAF(L)=IBR
CC 9 L=INC1,INC
9 IGRAF(L)=IPONT
IGRAF(INC)=IXIX
CC 10 30
20 INC=1
4 CC 6 L=1,101
6 IGRAF(L)=IBR
CC 7 L=INC,INC1
7 IGRAF(L)=IPONT
IGRAF(INC)=IXIX
```



-19-

PAG. 5 JBES 126 \* COPPE-FORTRAN \* 19/09/75

```
GC TC 30
21 DO 14 L=1,101
14 IGRAF(L)=IPCNT
IGRAF(101)=IXIX
30 IGRAF(INC1)=IBARRA
WRITE(ICUT,40)C(K),X(K),(IGRAF(L),L=1,1C1)
40 FORMAT(1X,16,1H ,E12.5,1H ,101A1)
5 CONTINUE
83 RETURN
ENC
```

SUBROUTINE RMS(X,N,A)
DIMENSION X(8192),Y(8192)

ESTE PROGRAMA CALCULA A RMS DE UMA FUNCAO X DADA.

PAG. 6 JBES 126 \* COPPE-FORTRAN \* 19/09/75

```
C
SCMA=0.
DO 10 I=1,N
Y(I)=X(I)*X(I)
SCMA=SCMA+Y(I)
10 CONTINUE
A=SCMA/FLCAT(N)
RETURN
ENC
```

PAG. 3 JBES 126

\* COPPE-FORTRAN \*

19/09/75

CCCC  
SUBROUTINE FFTTF(A,N,M,SIGN)  
SIGN = 1. FOR FFT , SIGN = -1. FOR IDFT  
FFT ROUTINE FOR COMPLEX DATA STORED IN COMPLEX ARRAY A  
CUT IN BITREVERSECR ORDER  
N=2\*\*M  
DIMENSION A(N)  
COMPLEX A,U,W,T  
PI = 4.\*ATAN(1.)  
DO 20 L = 1,M  
L1 = M-L+1  
LE = 2\*\*L1  
LE1 = LE/2  
U = (1., 0.)  
AA = -SIGN\*SIN(PI/LE1)  
W = CMPLX (COS(PI/LE1),AA)  
DO 20 J=1,LE1  
DO 10 I=J,N,LE  
IP = I + LE1  
T = A(IP)  
A(IP) = (A(I)-T)\*U  
10 A(I) = A(I) + T  
20 U = U\*W  
IF (SIGN) 15,15,25  
15 DO 22 I=1,N  
22 A(I) = A(I)/N  
25 CONTINUE

PAG. 4 JBES 126

\* COPPE-FORTRAN \*

19/09/75

RETURN  
END

SUBROUTINE BITREV (A,N)  
DIMENSION A(N)  
COMPLEX A,T  
NV2=N/2  
NM1=N-1  
J=1  
DO 7 I=1,NM1  
IF (I.GE.J) GO TO 5  
T=A(J)  
A(J)=A(I)  
A(I)=T  
5 K=NV2  
6 IF (K.GE.J) GO TO 7  
J=J-K  
K=K/2  
GO TO 6  
7 J=J+K  
RETURN  
END

PAG. 3 JBES 126 \* COPPE-FORTRAN \* 19/09/75

```
SUBRCUTINE SAUT(B,N,M,X,DEP,DIP)
DIMENSION V(80),DIP(8192),DEP(8192),X(8192),Y(8192),XN(8192),
=W(8192),XM(8192), A(8192),B(8192),C(8192),R1(8192)
COMPLEX A,C,R1
```

```
IN=8
ICUT=5
N2=N/2
```

CENTRALISACAO DA FUNCAO

CALCULC DA MEDIA

```
SCMA=0.0
DO 100 I=1,N2
SOMA=SCMA+B(I)
```

```
100 CCNTINUE
      XMEC=SCMA/FLOAT(N2)
      DO 110 I=1,N2
      B(I)=B(I)-XMEC
110 CCNTINUE
      N2M1=N2+1
      DO 120 I=N2M1,N
      B(I)=0.0
120 CCNTINUE
```

C

PAG. 4 JBES 126 \* COPPE-FORTRAN \* 19/09/75

C CALCULC DA TRANSFORMACA DE FOURIER

```
DO 130 I=1,N
AA=B(I)
A(I)=CMPLX(AA,0.0)
130 CCNTINUE
SIGN=1
CALL FFTTF(A,N,M,SIGN)
CALL BITREV(A,N)
```

C CALCULC DA FUNCAO DE AUTOCORRELACAO

```
DO 140 J=1,N
C(J)=A(J)*CONJG(A(J))
140 CCNTINUE
SIGN=-1
CALL FFTTF(C,N,M,SIGN)
CALL BITREV(C,N)
DO 150 K=1,N
R1(K)=(FLOAT(N)/FLOAT(N-N2))*C(K)
150 CCNTINUE
XNOR=REAL(R1(1))
DO 170 I=1,N
X(I)=REAL(R1(I))/XNOR
170 CCNTINUE
```

CCCC

P/ LISTAR A AUTOCORRELACAO USAR O SEGUINTE CONJUNTO

PAG. 5 JBES 126

\* COPPE-FORTRAN \*

19/09/75

```
C      WRITE(ICUT,90)
C      WRITE(ICUT,180)
180  FORMAT(///,10X,'GRAFICO DA AUTOCORRELACAO',//)
      CALL GRAFT(N,X)
```

APLICACAO DA JANELA

```
PI=3.14159
IAK=N/3
AF=PI/FLCAT(IAK)
IK=IAK+1
IK1=IK+1
CC 190 I=1, IK
W(I)=C.5+(0.5*CCS((I-1)*AF))
190 CCNTINUE
CC 200 I=IK1,N2
W(I)=0.0
200 CONTINUE
CC 210 I=2,N2
C(I)=C(I)*W(I)
C(N-I+2)=C(I)
```

PAG. 6 JBES 126

\* COPPE-FORTRAN \*

19/09/75

210 CONTINUE

ESTIMACAO DA DENSIDADE ESPETRAL

```
SIGN=1
CALL FFTTF(C,N,M,SIGN)
CALL BITREV(C,N)
CO 211 I=1,N
CP=REAL(C(I))
CIP(I)=CP
CEP(I)=ALCG10(CP)
211 CCNTINUE
```

CENTRALIZACAO DA DENSIDADE ESPECTRAL DE POTENCIA

```
SM=C.C
SCMA=0.C
CC 212 I=1,N
SM=SM+CIP(I)
SOMA=SCMA+CEP(I)
212 CCNTINUE
XMI=SM/FLOAT(N)
XME=SCMA/FLOAT(N)
RETURN
END
```

PAG. 3 JBES 126

\* COPPE-FORTRAN \*

19/09/75

```
SUBROUTINE SCROS(X,Y,N,M,XN,XM)
DIMENSION X(8192),Y(8192),XX(8192),YY(8192),CCR(8192),XN(8192),
         =W(8192),XM(8192),B(8192)
COMPLEX XX,YY,CCR
IN=8
IOUT=5
```

ESTE PROGRAMA UTILIZA AS SEGUINTE SUBRUTINAS: BITRV, FFTTF, GRAPH E GRAFT.

ESTA PARTE DO PROGRAMA CALCULA A CROSSCORRELACAO E CROSS-SPECTRC.

N REPRESENTA O NUMERO DE PONTOS UTILIZADOS PARA O CALCULO.

M NUMERO TAL QUE --- N = M\*\*2 ---

```
521 N2=N/2
      B(1)=Y(1)
      CC 522 I=2,N2
      B(I)=Y(I-1)+Y(I)
522 CCNTINUE
      CC 523 I=1,N2
      Y(I)=B(I)/2.
```

PAG. 4 JBES 126

\* COPPE-FORTRAN \*

19/09/75

523 CCNTINUE

```
C
P/ LISTAGEM DOS DADOS DA 1A. SERIE USE
      WRITE(ICUT,30)
      30 FCRMAT(1H1)
      WRITE(ICUT,620)
      620 FORMAT(///,10X,'GRAFICO DA 1A SERIE DE DADOS',//)
      CALL GRAPH(N2,X)
```

```
C
P/ LISTAGEM DOS DADOS DA 2A. SERIE USE
      WRITE(ICUT,20)
      WRITE(ICUT,630)
      630 FCRMAT(///,10X,'GRAFICO DA 2A SERIE DE DADOS',//)
      CALL GRAPH(N2,Y)
```

```
C
SX=0.
SY=C.
CC 640 I=1,N2
SX=SX+X(I)
SY=SY+Y(I)
640 CONTINUE
      XMX=SX/FLOAT(N2)
      XMY=SY/FLOAT(N2)
      CC 650 I=1,N2
```

PAG. 5 JBES 126

\* COPPE-FORTRAN \*

19/09/75

```
X(I)=X(I)-XMX
Y(I)=Y(I)-XMY
650 CCNTINUE
CC 660 I=1,N2
XX(I)=CMPLX(X(I),0.0)
YY(I)=CMPLX(Y(I),0.0)
660 CCNTINUE
N2M1=N2+1
DO 670 I=N2M1,N
XX(I)=CMPLX(0.0,0.0)
YY(I)=CMPLX(0.0,0.0)
670 CCNTINUE
SIGN=1
CALL FFTTF(XX,N,M,SIGN)
CALL BITREV(XX,N)
CALL FFTTF(YY,N,M,SIGN)
CALL BITREV(YY,N)
C CALCULC DA CROSSCCRRELACAO CXY
CC 680 I=1,N
CCR(I)=XX(I)*CONJG(YY(I))
680 CONTINUE
SIGN=-1
CALL FFTTF(CCR,N,M,SIGN)
CALL BITREV(CCR,N)
```

PAG. 6 JBES 126

\* COPPE-FORTRAN \*

19/09/75

```
CC 700 I=1,N
XN(I)=REAL(CCR(I))
700 CCNTINUE
P/ LISTAR A CRESSCORRELACAO USE
WRITE(1CUT,20)
WRITE(1CUT,710)
710 FCRMAT(///,10X,'GRAFICO DA CRESSCORRELACAO CXY')
CALL GRAFT(N,XN)
```

#### APLICACAO DA JANELA ESPECTRAL

```
PI=3.14159
IAK=N/3
AF=PI/FLOAT(IAK)
IK=IAK+1
IK1=IK+1
DO 720 I=1,IK
W(I)=0.5+(0.5*COS((I-1)*AF))
720 CCNTINUE
CC 730 I=IK1,N2
W(I)=0.
730 CCNTINUE
CC 740 I=2,N2
CCR(I)=CCR(I)*W(I)
```

PAG. 7 JBES 126

\* COPPE-FORTRAN \*

19/09/75

```
    CCR(N-I+2)=CCR(I)
C 740 CONTINUE
C          ESTIMADOR DA DENSIDADE ESPECTRAL
C          SIGN=1
C          CALL FFTTF(CCR,N,M,SIGN)
C          CALL BITREV(CCR,N)
C          DO 750 I=1,N
C          XM(I)=CABS(CCR(I))
C 750 CCNTINUE
C
C          P/ LISTAR O CROSSESPECTRO USE
C          WRITE(1CUT,30)
C          WRITE(1CUT,760)
C 760 FORMAT(///,10X,'ESTIMADOR DA DENSIDADE ESPECTRAL',///,10X,
C           3' MODULC',//)
C          CALL GRAPH(N2,XM)
C
C          RETURN
C          END
```

PAG. 3 JBES 126

\* COPPE-FORTRAN \*

19/09/75

```
DIMENSION V(80),DIP(8192),DEP(8192)
= W(8192),XM(8192),Y(8192),XX(8192),YY(8192),CCR(8192),XN(8192),
DIMENSION P1(8192),S44(8192),SCT(8192),S33(8192),SQ43(8192),
= XP(4,8192),XXP(8192),BP(8192),YP(8192),S43(8192),
COMPLEX A,C,R1
COMPLEX XX,YY,CCR
IN=8
IOUT=5
```

\*\*\*\*\*  
JCAC B. E. SERRAO --- COPPE / UFRJ  
PROGRAMA DE ENGENHARIA MECANICA --- 1975  
4 CONGRESSO PANAMERICANO DE ENGENHARIA NAVAL.  
\*\*\*\*\*

REAC(IN,1) (V(I),I=1,80)  
1 FCRMAT(80A1)

PAG. 4 JBES 126

\* COPPE-FORTRAN \*

19/09/75

```
2 WRITE(ICUT,2) (V(I),I=1,80)
FCRMAT(/////////,10X,ECA1)
N=1024
N=1C
N2=N/2
CC 20 I=1,3,2
J=I+1
REAC(IN,10)(XP(I,K),XP(J,K),K=1,N2)
FCRMAT(16I5)
CONTINUE
CC 4C I=1,2
CC 30 J=1,N2
XXP(J)=XP(I,J)
CONTINUE
CALL RMS(XXP,N2,AF)
BP(I)=AF
CONTINUE
FATCR=BP(1)/BP(2)
FATC=FATCR*FACTOR
CC 41 I=1,N2
BP(I)=XP(3,I)
CONTINUE
CALL SAUT(BP,N,M,X,DEP,S33)
CC 42 I=1,N2
X(I)=XP(4,I)
Y(I)=XP(3,I)
CONTINUE
CALL SCROS(X,Y,N,M,XN,S43)
DO 5C I=1,N
```

PAG. 5 JBES 126

\* COPPE-FORTRAN \*

19/09/75

```
SQ43(I)=S43(I)*S43(I)
50 CONTINUE
DO 60 I=1,N
P1(I)=SQ43(I)/(FATQ*S33(I))
S44(I)= ALOG10(P1(I))
60 CCNTINUE
```

DF REPRESENTA O INCREMENTO DE FREQUENCIA DE PONTC P/ PCNTC NCS  
GRAFICOS DE SAICA. DF = (20 / 1024) KHZ = 19.4 HZ.  
PARA SABER A FREQUENCIA NOS GRAFICOS MULTIPLICA SE O NUMERO DO  
PONTC POR 19.4 HZ.

FREQ. DC PONTO = NUMERO DO PONTO X DF

```
70 WRITE(ICUT,70)
    FORMAT(1H1)
    WRITE(ICUT,80)
80 FORMAT(////////,10X,'GRAFICO DO LOG. DA POTENCIA TRANSMITIDA PELA
      = FONTE')
      CALL GRAPH(N2,S44)
      CALL EXIT
```

PAG. 6 JBES 126

\* COPPE-FORTRAN \*

19/09/75

ENC

NOMENCLATURA

$X(t)$ ,  $Y(t)$  - funções temporais aleatórias

$t$  - tempo

$C_{xx}(T)$  - função de autocorrelação

$T$  - atraso

$E\{X(t)\}$  - esperança matemática de  $X(t)$

$C_{xy}(T)$  - função de crossespectro

$F\{X(t)\}$  - transformada de FOURIER

FFT |  $X(t)$  | - transformada de FOURIER RÁPIDA

$f$  - frequência

$S_{xx}(f)$  - função de AUTOESPECTRO

$S_{xy}(f)$  - função de CROSSESPECTRO

$H(t)$  - função de transferência

$P(t)$  - Potência transmitida pela fonte